

# К ТЕОРИИ ТЕМ-РУПОРА С ПУЧКОВЫМ ВОЗБУЖДЕНИЕМ

Ю.В. Кириченко, Ю.Ф. Лонин, И.Н. Онищенко

Национальный научный центр «Харьковский физико-технический институт»  
Харьков, Украина

Рассмотрена теоретическая модель пучкового возбуждения ТЕМ-рупора при генерации СШП-сигнала ультракоротким сильноточным релятивистским пучком, при возбуждении изолированной спиральной антенны сильноточным релятивистским пучком наносекундной длительности. Рассматривается бесконечная вдоль оси  $x$  достаточно толстая идеально проводящая полоса шириной  $L$ . На краю этой полосы при  $z=0$  имеется заряд с известной зависящей от времени плотностью  $\rho(t)$ . Предполагается, что  $\rho(t)$  достаточно быстро убывает при  $t \rightarrow \infty$  и  $t \rightarrow -\infty$ . Приводится численный анализ нормированной диаграммы направленности.

PACS: 52.40.Fd

## ВВЕДЕНИЕ

Получение несинусоидальных (СШП-сверхширокополосных) импульсных сигналов является актуальной проблемой современной релятивистской электроники. Такие импульсы находят широкое применение в современных системах радиолокации и радиосвязи [1]. Они могут быть использованы для подпочвенного зондирования, изучения воздействия мощных СШП электромагнитных импульсов (ЭМИ) на объекты естественного и искусственного происхождения и ряда других приложений.

Методы генерации мощных СШП-сигналов, основанных на традиционных схемах преобразования кинетической энергии интенсивных релятивистских электронных пучков в энергию электромагнитного поля (ЭМП), характерны достаточно низкой эффективностью (КПД) [2-4]. В середине 80-х годов были исследованы возможности повышения эффективности генерации в коаксиальной конструкции [5] и позже в [6-7] показано достаточно эффективное возбуждение излучающих систем за счет энергии, запасенной в Магх-генераторе при прямом преобразовании ее в энергию ТЕМ-волны при возбуждении ТЕМ-рупора.

Интерес к ТЕМ-рупорной антенне связан прежде всего с разработкой сверхширокополосных антенн (СШП) [8-11], которые наряду с конструктивной простотой обладают очень широким спектром. На Рис.1 представлена ТЕМ-рупорная антенна и схема предварительных (возможных) экспериментов.

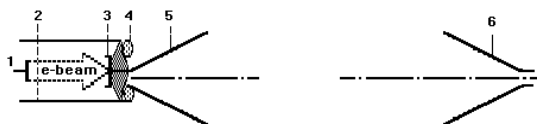


Рис.1. Схема экспериментальных исследований

ТЕМ-рупор представляет собой систему из двух трапецидальных медных пластин, расположенных под углом  $30^\circ$  друг к другу. Минимальный поперечный размер пластин 4 см, максимальный — 40 см. Длина пластин 2 м, размеры раскрытия рупора  $40 \times 40$  см. ИРЭП с энергией 500 кВ и током до 10 кА через коллектор подавался на верхний электрод расходящейся полосовой линии. Нижний электрод заземлен. В качестве приемной антенны (6) использован

аналогичный ТЕМ-рупор. Ток, текущий по поверхности верхней пластины, создает излучаемое рупором электромагнитное поле. Возбуждение ТЕМ-антенны происходит электронным пучком, формируемым в катод-анодном промежутке ускорителя (поз.1-2, Рис.1), который падает на коллектор (3), соединенный с одной из пластин ТЕМ-рупора (5) — другая заземлена. Ток пучка регистрируется поясом Роговского (4).

В настоящей работе рассмотрена теоретическая модель, геометрия которой представлена на Рис.2.

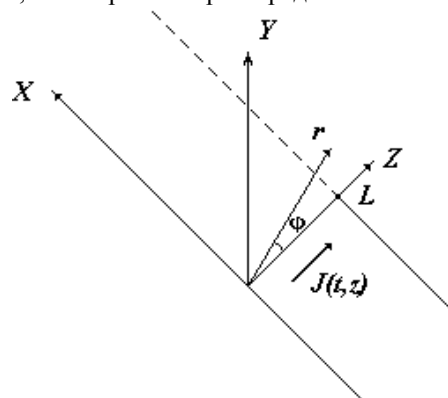


Рис.2. Геометрия теоретической модели

Рассмотрим бесконечную вдоль оси  $X$  достаточно толстую идеально проводящую полосу шириной  $L$ . На краю этой полосы при  $z=0$  имеется заряд с известной зависящей от времени плотностью  $\rho(t)$ . Предполагается, что  $\rho(t)$  достаточно быстро убывает при  $t \rightarrow \infty$  и  $t \rightarrow -\infty$ . Заряд растекается в направлении оси  $Z$ , образуя поверхностный ток, который в силу однородности по оси  $X$  имеет вид

$$j(t, y, z) = e_z j(t, z) \delta(y). \quad (1)$$

Ток (1) создает векторный потенциал с единственной  $Z$ -й компонентой, Фурье-преобразование которой определяется формулой

$$A_z(\omega, y, z) = i \frac{1}{4} \int_0^L dz' j(\omega, z') H_0^{(1)}(k \sqrt{y^2 + (z - z')^2}), \quad (2)$$

где  $k = \omega / c$ ,  $j(\omega, z)$  — Фурье-преобразование функции  $j(t, z)$ ,  $H_0^{(1)}$  — функция Ганкеля 1-го рода (зависимость от времени предполагается в виде  $\exp(-i\omega t)$ ).

В дальней зоне электромагнитное поле, соответствующее векторному потенциалу (2), имеет следующие Фурье-компоненты:

$$H_x(\omega, r, \varphi) \approx -\sqrt{\frac{k}{8\pi}} e^{i\left(kr - \frac{\pi}{4}\right)} \frac{\sin \varphi}{\sqrt{r}} I(\omega, \varphi), \quad (3)$$

$$E_y(\omega, r, \varphi) \approx W \sqrt{\frac{k}{8\pi}} e^{i\left(kr - \frac{\pi}{4}\right)} \frac{\sin \varphi \cos \varphi}{\sqrt{r}} I(\omega, \varphi), \quad (4)$$

$$E_z(\omega, r, \varphi) \approx -W \sqrt{\frac{k}{8\pi}} e^{i\left(kr - \frac{\pi}{4}\right)} \frac{\sin^2 \varphi}{\sqrt{r}} I(\omega, \varphi), \quad (5)$$

$$I(\omega, \varphi) = \int_0^L dz' j(\omega, z') \exp(-ikz' \cos \varphi) \quad (6)$$

где  $W = 120\pi$  Ом,  $r, \varphi$  - полярные координаты в плоскости  $(z, y)$  (см. Рис.2). Приравняв компоненту  $E_z$  электрического поля (5) нулю на поверхности проводника, получаем следующее интегральное уравнение для  $j(\omega, z)$ :

$$\left( \frac{\partial^2}{\partial z^2} + k^2 \right) \times \int_0^L dz' j(\omega, z') H_0^{(1)}(k|z - z'|) = 0, \quad 0 \leq z \leq L. \quad (7)$$

Уравнение (7) надо дополнить граничными условиями, соответствующими условиям эксперимента:

$$\left. \frac{\partial j(\omega, z)}{\partial z} \right|_{z=0} = i\omega \rho(\omega), \quad j(\omega, z)|_{z=L} = 0, \quad (8)$$

где  $\rho(\omega)$  - Фурье-преобразование функции  $\rho(t)$ .

$$\frac{d^2 E_i}{d\omega d\varphi} = \frac{Wc^2}{2\pi} |\rho(\omega)|^2 \cdot \frac{1 - 0.5 \sin^2(kL) \sin^2(\varphi) - \cos(kL) \cos(kL \cos \varphi) - \cos \varphi \sin kL \sin(kL \cos \varphi)}{\sin^2(\varphi) k \cos^2(kL)}, \quad (13)$$

где  $E_i$  - энергия излучаемой волны, приходящаяся на единицу длины по оси  $X$ . Первый множитель, зависящий от  $\rho(\omega)$ , определяет спектральный состав излучения, а второй - его угловое распределение. Последний обращается в бесконечность при условии

$$kL = \frac{\pi(2n+1)}{2} \text{ или } \lambda_n = \frac{4L}{2n+1}, \quad n = 0, 1, 2 \dots \quad (14)$$

Физически это означает, что такая антенна излучает преимущественно волны с длиной, равной  $\lambda_n$ . Если учесть конечную проводимость металла антенны в импедансном приближении, то в знаменателе формулы (13) произойдет замена

$$\cos^2(kL) \rightarrow \frac{1}{2} (\cos(2kL) + ch(2kL\delta)),$$

$$\delta = \frac{\pi \Delta^0}{8 |\ln k \Delta L| \Delta L} \ll 1, \quad (15)$$

где  $\Delta^0$  - толщина скин-слоя. После такой замены угловое распределение излучения всегда будет ко-

ядро интегрального уравнения (7) содержит логарифмическую особенность.

Физически это означает, что векторный потенциал на поверхности полосы в точке  $z = z'$  в основном определяется токами вблизи этой точки, то есть зависимость векторного потенциала от тока локальна. Благодаря этому основной вклад в интеграл (7) дает малая окрестность  $z - \Delta L \leq z' \leq z + \Delta L$ . Поэтому справедливо соотношение

$$\int_0^L dz' j(\omega, z') H_0^{(1)}(k|z - z'|) \approx j(\omega, z) \times \int_{z-\Delta L}^{z+\Delta L} dz' H_0^{(1)}(k|z - z'|), \quad (9)$$

где  $k\Delta L \ll 1$ . (10)

Поскольку особенность функции  $H_0^{(1)}$  является интегрируемой, правая часть равенства (9) конечна. Таким образом, общее решение уравнения (7) имеет вид

$$j(\omega, z) = c_1 e^{ikz} + c_2 e^{-ikz}, \quad (11)$$

где  $c_1, c_2$  находятся из условий (8). Второе слагаемое в (11) описывает волну, отраженную от края пластины при  $z = L$ . В окончательном виде получаем

$$j(\omega, z) = ic\rho(\omega) \frac{\sin k(z-L)}{\cos kL}. \quad (12)$$

Соотношения (3-6, 12) позволяют найти вектор Пойнтинга. Интегрируя его по времени в пределах  $-\infty < t < \infty$ , находим угловое и спектральное распределение энергии излучения

нечным и иметь максимумы при  $\lambda \approx \lambda_n$ . Следовательно, для нахождения нормированных диаграмм направленности достаточно воспользоваться формулой (13). Отметим, что длины резонансных волн  $\lambda_n$  зависят от геометрии задачи и не зависят от  $\rho(t)$ , то есть от способа возбуждения антенны. Таким образом, данная антенна ведет себя подобно резонатору.

Прежде всего отметим, что диаграмма направленности, определяемая соотношением (13) симметрична относительно угла  $\varphi = \pi/2$  (Рис.2). Поэтому достаточно рассмотреть углы  $\varphi < \pi/2$ . Излучение отсутствует при  $\varphi = 0$ .

Численный анализ нормированной диаграммы направленности, основанный на формуле (13), проведен при  $L = 2$  м. При этом максимальное значение длины резонансной волны равно 8 м. На Рис.3 представлены нормированные диаграммы направленности для трех значений  $\lambda_n$ : 1.0 см, 1.95 дм, 1.14 м. Каждая кривая характеризуется резко выра-

женным максимумом и несколькими незначительными боковыми лепестками. Излучение волн направлено в основном под малыми углами  $\varphi$ . Заземленная проводящая пластина, расположенная под некоторым углом к пластине с током (Рис.1), отсекает эти лепестки и излучение под углом  $\varphi > \pi / 2$ .

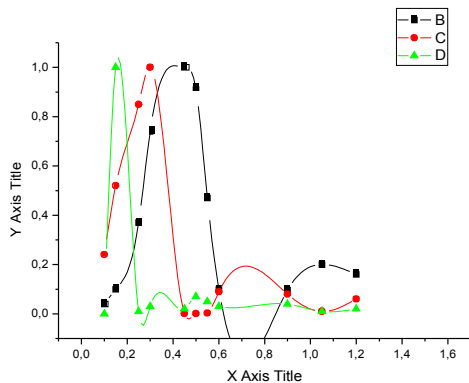


Рис.3. Нормированные диаграммы направленности

Направление излучения в нашей модели ТЕМ-рупора сильно зависит от длины излучаемой волны. Спектр излучаемых волн имеет резонансный характер, о чем говорилось выше. Кроме того, при уменьшении длины волны диаграмма направленности сужается, а число боковых лепестков возрастает (Рис.3). Эти особенности излучения характерны для узкополосных антенн.

## ЛИТЕРАТУРА

1. Х.Ф. Хармут. *Несинусоидальные волны в радиолокации и радиосвязи*. М.: «Радио и связь».1985, с.376.
2. А.С. Сулакшин // *ЖТФ*. 1983, т.53, вып.11, с.56.
3. А.Н. Диденко, Ю.Г. Юшков. *Мощные СВЧ-импульсы наносекундной длительности*. М.: «Энергоатомиздат». 1984.
4. С.Б. Блудов, Н.И. Гадецкий, И.И. Магда, Ю.Ф. Лонин и др. // *Физика плазмы*. 1994, т.20, №7-8, с.712-718.
5. M. Friedman, J. Krall, J.J. Lau, V. Serlin // *Rev. Soc. Instr.* 1990, v.61, №1, p.171.
6. К.П. Грачев, Н.Н. Грицов, И.И. Есаков, К.В. Ходотаев // *Радиотехника и электроника* 1994, вып.12, с.2044-2049.
7. Charles Gilman, S.K. Lam, J.T.Naff, et al. Proc. of the 12-th IEEE International Pulsed Power Conference, Monterey, California, 1999, v.2, p.1437.
8. *Сверхширокополосные антенны*. / Под ред. Л.С. Бененсона. М: «Мир». 1964, с.416.
9. В. Рамзей. *Частотно независимые антенны*. М: «Мир». 1968, с.175.
10. Ю.А. Андреев, Ю.И. Буянов, В.И. Кошелев. Комбинированная антенна с расширенной полосой пропускания // *Радиотехника и электроника*. 2005, т.50, №5, с.585-594.

## TO THE THEORY OF A TEM-HORN WITH BEAMS EXCITATION

*Yu. V. Kiritchenko, Yu. F. Lonin, I. N. Onishchenko*

In operation the theoretical model of beams excitation of a TEM-horn surveyed, at generation of a UWB-signal by a ultrashort high-current relativistic beams. At excitation of the isolated helical antenna by a high-current relativistic beams of nanosecond duration. Infinite is considered lengthwise axis  $x$  a thick enough theoretically carrying out bar of width  $L$ . On edge of this bar at  $z=0$  there is a charge with known time-dependent density  $\rho(t)$ . It is supposed, what  $\rho(t)$  fast enough decreases at  $t \rightarrow \infty$  and  $t \rightarrow -\infty$ . The numerical analysis of a normalized directional diagram is reduced.

## ДО ТЕОРІЇ ТЕМ-РУПОРА З ПУЧКОВИМ ЗБУДЖЕННЯМ

*Ю.В. Кириченко, Ю.Ф. Лонін, І.М. Онищенко*

Розглянута теоретична модель пучкового збудження ТЕМ-рупора при генерації СШП-сигнала ультракоротким потужнострумивим релятивістським пучком. при порушенні ізольованої спіральної антени потужнострумивим релятивістським пучком наносекундної тривалості. Розглядається нескінченна уздовж осі  $x$  досить товста ідеально провідна смуга шириною  $L$ . На краю цієї смуги при  $z=0$  є заряд з відомої залежності від часу щільністю  $\rho(t)$ . Передбачається, що  $\rho(t)$  досить швидко убуває при  $t \rightarrow \infty$  і  $t \rightarrow -\infty$ . Приводиться чисельний аналіз нормованої діаграми спрямованості.